

<http://journal.rmutp.ac.th/>

การจำลองและการทดสอบระบบเติมอากาศแบบน้ำไหลเวียนด้วย พลังงานแสงอาทิตย์

เพ็ญพิชา เนียมสกุล¹ สมร พรชื่นชูวงศ์² และ ออาทิตย์ คุณศรีสุข^{1*}

¹ สาขาวิศวกรรมเครื่องกล สำนักวิศวกรรมศาสตร์ มหาวิทยาลัยเทคโนโลยีสุรนารี

² สาขาวิศวกรรมเครื่องกล สำนักวิศวกรรมศาสตร์ มหาวิทยาลัยเทคโนโลยีสุรนารี

111 ถนนมหาวิทยาลัย ตำบลสุรนารี อำเภอเมือง จังหวัดนครราชสีมา 30000

รับบทความ 10 ธันวาคม 2563 แก้ไขบทความ 29 พฤศจิกายน 2564 ตอบรับบทความ 27 ธันวาคม 2564

บทคัดย่อ

ปริมาณออกซิเจนที่ละลายในน้ำ (DO) ถือเป็นปัจจัยหนึ่งที่มีความสำคัญอย่างมากในการเพาะเลี้ยงสัตว์น้ำ ในระหว่างวันน้ำในบ่อเพาะเลี้ยงถูกแบ่งชั้นทำให้ DO แตกต่างกัน ซึ่งเป็นสาเหตุมาจากการแแทกต่างของอุณหภูมิ และความแแทกต่างของอุณหภูมิในชั้นเมื่อ ผิวน้ำชั้นบนถูกทำให้ร้อนด้วยแสงแดดจึงทำให้น้ำชั้นบนร้อนกว่าน้ำชั้นล่าง ด้วยเหตุผลนี้น้ำชั้นบนที่สัมผัสกับอากาศจะเป็นบริเวณที่มีปริมาณ DO มากที่สุด ในทางตรงกันข้ามน้ำในชั้นลึกสุดถูกแยกจากอากาศจึงเป็นบริเวณที่มีปริมาณ DO น้อยที่สุด การศึกษานี้นำเสนอระบบเติมอากาศที่เรียกว่า ระบบเติมอากาศแบบน้ำไหลเวียนพลังงานแสงอาทิตย์ (SCWAS) โดยระบบ SCWAS นี้ใช้พลังงานความร้อนจากแสงแดดเพื่อสร้างการไหลเวียนธรรมชาติ กล่าวอีกในหนึ่งคือการไหลเวียนนี้ทำให้น้ำจากด้านล่างไหลขึ้นด้านบนและน้ำจากด้านบนไหลงด้านล่างปะ ซึ่งการไหลเวียนในลักษณะนี้ทำให้น้ำเกิดการเคลื่อนที่และเพิ่มปริมาณ DO ได้ การไหลเวียนของน้ำจะย้ายออกซิเจนที่มีอยู่มากที่ผิวน้ำชั้นบนลงมาอยู่ชั้นล่าง และขับให้น้ำชั้นล่างที่มีออกซิเจนต่ำขึ้นไปดูดซับออกซิเจนที่มีอยู่มากที่ผิวน้ำชั้นบน เพื่อประเมินแนวคิดในการออกแบบ ได้ใช้แบบจำลองเชิงตัวเลขที่ดำเนินการในโปรแกรม ANSYS Fluent ตามผลการจำลองระบบ SCWAS สามารถให้การไหลเวียนตามธรรมชาติได้ ซึ่งพบว่าอัตราการไหลเวียนที่ได้รับเท่ากับ 2.24 ลิตรต่อวินาที เมื่อสัดส่วนระหว่าง ทางเข้าปล่อง (n), ทางออกปล่อง (R) และฐาน (L) มีค่าเป็น 1: 2: 3 นอกจากนี้ระบบ SCWAS ต้นแบบได้ถูกสร้างและติดตั้งในบ่อเพาะเลี้ยงปลาโน nil และชุดบันทึกข้อมูลที่ทำการสอบเทียบแล้วได้ทำการติดตั้งเพื่อตรวจสอบสมรรถนะของชุดต้นแบบ ผลการทดลองระบุว่า ค่า DO โดยเฉลี่ยที่ผิวน้ำชั้นบนและน้ำชั้นล่างเพิ่มขึ้น 1.45 และ 1.40 เท่าตามลำดับเมื่อเทียบกับป่าไม้ติดตั้งระบบ SCWAS การวิเคราะห์ทางเศรษฐศาสตร์แสดงให้เห็นว่า ระยะเวลาคืนทุนของระบบ SCWAS คือ 4.58 ปี และงบลงทุนต่ำกว่า เครื่องเติมอากาศชนิด Paddle Wheel คิดเป็นร้อยละ 17.49

คำสำคัญ : เครื่องเติมออกซิเจน; ระบบเติมอากาศ; การเพาะเลี้ยงสัตว์น้ำ; ออกซิเจนละลายในน้ำ; พลังงานแสงอาทิตย์

* ผู้นิพนธ์ประสานงาน โทร: +668 0168 5996, ไปรษณีย์อิเล็กทรอนิกส์: atit@sut.ac.th

<http://journal.rmutp.ac.th/>

Simulation and Experiment of a Solar-Circulating Aeration System

Phenphicha Niamsakul¹ Samorn Ponchunchoovong² and Atit Koonsrisuk^{1*}

¹ School of Mechanical Engineering, Institute of Engineering, Suranaree University of Technology

² School of Animal Production Technology, Institute of Agricultural Technology, Suranaree University of Technology

111 University Avenue, Muang District, Nakhon Ratchasima 30000

Received 10 December 2020; Revised 29 November 2021; Accepted 27 December 2021

Abstract

The amount of dissolved oxygen (DO) in aquaculture ponds is considered to be one of the most important aspects for the survival of fishes. The water in aquaculture ponds is stratified into distinct layers with different DO caused by differences in temperature. This temperature difference occurs when the surface layer of water, heated by the sun, becomes hotter than the lower water layer. Since the top layer is in contact with the air, it contains the most DO. On the other hand, the deepest layer is isolated from the air, it contains the lowest amount of DO. This study proposed an aeration system called a Solar Circulating-Water Aeration System (SCWAS). The SCWAS uses solar thermal energy to create a natural water circulation. In other words, it provides an upward current of water from the bottom to the pond surface and a downward current from the surface to the bottom. This circulation creates the movement of surface water and then increases the DO content of the surface water. This water circulation moves highly oxygenated surface water to the bottom layer, forcing low oxygen water from the bottom up to the surface where it can absorb oxygen. To evaluate this design concept, the numerical simulations of the system were conducted using ANSYS Fluent software. According to the simulation results, the SCWAS can provide the natural water circulation. It was found that a flow rate of 2.24 L/s is obtained when the ratio between the draft tube inlet (r), the draft tube outlet (R), the base (L) is 1: 2: 3. In addition, an SCWAS prototype was built and installed in a tilapia aquaculture system. A calibrated measuring system was installed to investigate the prototype performance. The experimental results indicate that the average DO values at the water surface and at the bottom of the pond increased by 1.45 and 1.40 times, respectively, compared with those of a pond without SCWAS. Economic analysis shows that the payback period of SCWAS is 4.58 years and its investment cost is 17.49% less than that of the paddle-wheel aerator.

Keywords : Aerator; Aeration System; Aquaculture; Dissolved Oxygen; Solar Energy

* Corresponding Author. Tel.: +668 0168 5996, E-mail Address: atit@sut.ac.th

1. บทนำ

ปริมาณออกซิเจนที่ละลายในน้ำ (Dissolved Oxygen, DO) ถือเป็นปัจจัยหนึ่งที่มีความสำคัญอย่างยิ่งในการเพาะเลี้ยงสัตว์น้ำ เนื่องจากสัตว์น้ำใช้ออกซิเจนในการหายใจและย่อยอาหาร และเพื่อการเจริญเติบโตที่ดีของสัตว์น้ำจะต้องมีออกซิเจนที่เหมาะสมอยู่ในช่วง 4–20 มิลลิกรัมต่อลิตร [1]

ในการเติมออกซิเจนเข้าสู่บ่อเพาะเลี้ยงโดยส่วนใหญ่มักใช้เครื่องตีน้ำ (Paddle Wheel) หรือปั๊มลม (Pump) ซึ่งเป็นเครื่องเติมออกซิเจนที่มีข่ายในห้องตลาด และเครื่องเหล่านี้จะทำงานได้ก็ต่อเมื่อมีการเชื่อมต่อ กับไฟฟ้า นอกจากนี้ ยังพบว่าต้นทุนเครื่องค่อนข้างสูงเมื่อเทียบการตันทุนการผลิตทั้งหมด โดยคิดเป็นเกือบร้อยละ 15 [2]

โดยทั่วไปเพาะเลี้ยงส่วนใหญ่ของเกษตรกร มักอยู่ห่างไกลจากแหล่งชุมชนทำให้การเชื่อมต่อไฟฟ้า เช้าไม่ถึง และผลผลิตสัตว์น้ำส่วนใหญ่มักมาจากการเกษตรกรในชนบท ซึ่งกว่าร้อยละ 72 ของผู้ผลิตสัตว์น้ำ เป็นเกษตรกรในภูมิภาคเอเชียแปซิฟิก และโดยทั่วไปเกษตรกรเหล่านี้ทำการเพาะเลี้ยงเป็นอาชีพเสริมเพื่อเป็นแหล่งอาหารและนำไปจำหน่ายเป็นรายได้สู่ครัวเรือน [3] ดังนั้น การที่เกษตรกรจะเข้าถึงเครื่องเติมออกซิเจนที่มีข่ายในห้องตลาดจึงเป็นไปได้ยาก เนื่องจากต้องเพิ่มภาระค่าใช้จ่ายในครัวเรือนทั้งในด้านต้นทุน เครื่องเติมอากาศและการเชื่อมต่อไฟฟ้าไปยังบ่อ นอกจากนี้ ยังมีค่าไฟฟ้าแพงเข้ามานั้น การผลิตอีกด้วย

สำหรับบ่อเพาะเลี้ยงที่ไม่มีเครื่องเติมออกซิเจน เข้าสู่บ่อ ออกซิเจนส่วนใหญ่จะมาจากธรรมชาติ โดยในช่วงเวลากลางวันออกซิเจนจะเข้าสู่บ่อจากกระแสลม ที่พัดผ่านผิวน้ำทำให้น้ำเกิดการระเหี่ยวน และจากการสั่งเคราะห์แสงของพืช ส่วนเวลากลางคืนไม่มีการสั่งเคราะห์แสงของพืชออกซิเจนที่ได้จะมาจากกระแสลม โดยตรง ซึ่งการเติมออกซิเจนด้วยวิธีธรรมชาตินี้จะทำได้

ดีเฉพาะบริเวณด้านบนของบ่อ เนื่องจากได้รับออกซิเจนจากธรรมชาติโดยตรง แต่ในส่วนลึกของบ่อออกซิเจนมีการลดลง เนื่องมาจากสัตว์น้ำใช้ออกซิเจนในการหายใจ และออกซิเจนบางส่วนยังถูกใช้ไปในการย่อยสลายสารอินทรีย์ต่อๆ ไปในน้ำ [4] นอกจากนี้ ในบ่อเพาะเลี้ยงระหว่างวันยังเกิดปรากฏการณ์ที่เรียกว่า “การแบ่งชั้นความร้อน” ขึ้น เนื่องจากน้ำภายในบ่อ มีความแตกต่างของอุณหภูมิ ซึ่งน้ำด้านล่างที่อยู่ในส่วนลึกของบ่อจะเย็นกว่าน้ำที่อยู่ด้านบนเป็นอย่างมาก เนื่องจากการลดทอนความเข้มแสงแดดเมื่อผ่านชั้นน้ำ [5] ด้วยเหตุผลดังกล่าวจึงทำให้น้ำในส่วนลึกของบ่อ มีอุณหภูมิต่ำและขาดแคลนออกซิเจน

โดยทั่วไปแล้วมักพบว่าสัตว์น้ำจะอาศัยอยู่บริเวณผิวน้ำ ที่เป็นเข่นนี้เนื่องจากบริเวณด้านบนบ่อ มีออกซิเจนที่เพียงพอต่อการดำรงชีวิต อย่างไรก็ตาม หากสัตว์น้ำอาศัยอยู่ในบริเวณที่มีอุณหภูมิสูงเป็นเวลานาน อาจเกิดโรคทางผิวหนังได้ ซึ่งทำให้เกิดผลเสียต่อผลผลิตของเกษตรกร ดังนั้น เพื่อลดความเสียหายที่อาจตามมา และยังเป็นการกระจายความหนาแน่นต่อพื้นที่ในบ่อ เพาะเลี้ยงของเกษตรกรในพื้นที่ชนบท จึงมีความจำเป็น ที่จะต้องทำการเพิ่มค่าออกซิเจนให้กับน้ำที่ส่วนลึกของบ่อให้เพียงพอต่อการดำรงชีวิต

ดังนั้น บทความนี้จึงได้นำเสนอระบบเติมอากาศที่เกษตรสามารถเข้าถึงได้ ซึ่งเป็นระบบที่ไม่ใช้พลังงานไฟฟ้า สามารถทำงานได้โดยธรรมชาติที่เกิดจากการประยุกต์ใช้หลักการของแรงดึงดูด นอกจากนี้ยังเป็นระบบที่ไม่ซับซ้อน ง่ายต่อการบำรุงรักษา ซึ่งเกษตรกรสามารถซ่อมบำรุงได้ด้วยตนเอง อีกทั้งยังเป็นระบบที่สามารถสร้างขึ้นมาใช้งานได้เองอีกด้วย

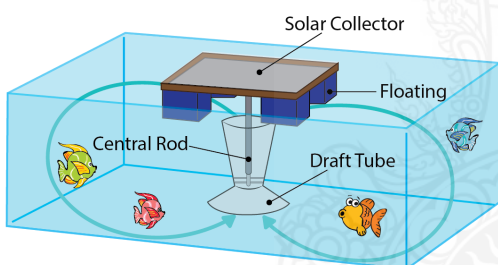
บทความนี้มีวัตถุประสงค์เพื่อนำเสนอการออกแบบระบบเติมอากาศแบบน้ำให้เลี้ยงพืชในบ่อเพาะเลี้ยง แสงอาทิตย์ โดยใช้โปรแกรมจำลองด้วยคอมพิวเตอร์ เพื่อหาขนาดที่เหมาะสม และทำการทดสอบระบบกับบ่อเพาะเลี้ยงเพื่อประเมินการทำงานของระบบ

นอกจากนี้ยังทำการประเมินทางเศรษฐศาสตร์ร่วมด้วย เพื่อเป็นทางเลือกในการลงทุนสำหรับผู้ประกอบการ ต่อไป

2. หลักการและวิธีดำเนินงาน

2.1 แนวคิดในการออกแบบระบบ

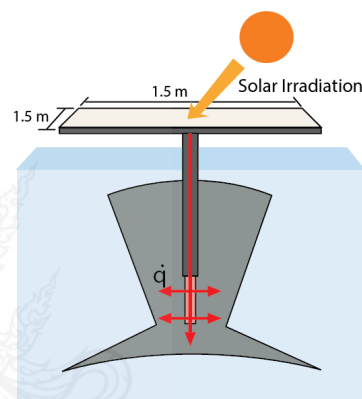
ระบบเติมอากาศที่นำเสนอนี้มีชื่อเรียกว่า ระบบเติมอากาศแบบน้ำไหลเวียนพลังงานแสงอาทิตย์ (Solar Circulating-Water Aeration System, SCWAS) ดังแสดงในรูปที่ 1 มีส่วนประกอบหลักคือ แผงรับแดด (Solar Collector) ที่ทำจากแผ่นอลูมิเนียม แห่งน้ำความร้อน (Central Rod) ปล่องปั้งคับทิศทางการไหล (Draft Tube) และทุ่นลอย (Floating) ซึ่งทำหน้าที่พยุงระบบให้ลอยอยู่ในน้ำได้และยังสะดวกต่อการเคลื่อนย้าย



รูปที่ 1 ระบบเติมอากาศแบบน้ำไหลเวียนพลังงานแสงอาทิตย์ (SCWAS)

ระบบ SCWAS สามารถเติมอากาศให้กับน้ำได้จากการทำให้น้ำเกิดการไหลเวียน โดยอาศัยหลักการของแรงลอยตัว (Buoyant Force) ที่เกิดจากการพากความร้อนโดยธรรมชาติ ซึ่งการทำงานของระบบเกิดขึ้นเมื่อ Solar Collector ดูดซับพลังงานแสงแดดและสะสมเป็นความร้อนเก็บไว้ในเนื้อวัสดุ จานวนความร้อนจะถูกถ่ายเทให้กับ Central Rod ที่ต่ออยู่กับแผ่นของ Solar Collector ซึ่งบน Central Rod บางส่วนถูกหุ้มฉนวนไว้ ระยะหนึ่งเพื่อไม่ให้ความร้อนสูญเสียก่อนถึงตำแหน่งที่ต้องการถ่ายเทความร้อน โดยความร้อนจะถูกถ่ายเท

จาก Central Rod สู่น้ำที่ชั้นล่างของบ่อ เมื่อน้ำในบริเวณที่อยู่ใกล้กับ Central Rod ได้รับความร้อนจะมีความหนาแน่นลดลงและต่ำกว่าบริเวณอื่น ด้วยเหตุนี้จึงส่งผลให้น้ำเกิดการไหลเวียนตามหลักการของแรงลอยตัว น้ำที่ไหลลงภายใต้ระบบจะไหลงตามการบังคับทิศทางของ Draft Tube เพื่อไปรับออกซิเจนที่มีอยู่มากที่ผิวน้ำด้านบนบ่อแล้วเคลื่อนที่ตามการไหลเวียนกลับมาซึ่งชั้นล่างของบ่อเพื่อปรับปรุงค่าออกซิเจน ซึ่งน้ำจะเกิดการไหลเวียนในลักษณะนี้เพื่อเติมออกซิเจนให้กับบ่อเพาะเลี้ยง สำหรับภาพประกอบการถ่ายเทความร้อนของระบบแสดงดังรูปที่ 2



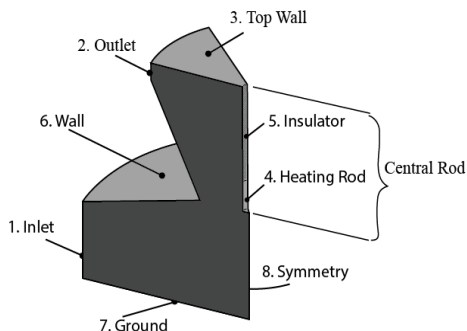
รูปที่ 2 การถ่ายเทความร้อนของระบบ SCWAS

2.2 แบบจำลองเชิงตัวเลข

เพื่อประเมินแนวคิดการออกแบบระบบ SCWAS ได้ใช้แบบจำลองเชิงตัวเลขที่ดำเนินการในโปรแกรม ANSYS Fluent เวอร์ชัน 18.0 โดยในการจำลองได้ทำการหาขนาดรูปทรงที่เหมาะสมของระบบ ซึ่งได้พิจารณาจากอัตราการไหลเวียนที่เกิดขึ้น

2.2.1 โหมดเมนการคำนวณและเงื่อนไขขอบเขต

ในการศึกษาได้ใช้แบบจำลอง 3 มิติ ซึ่งมีโหมดเมนการคำนวณเพียง 1/8 ของรูปทรงทั้งหมด ทั้งนี้เพื่อลดระยะเวลาในการคำนวณลง สำหรับโหมดเมนการคำนวณและการตั้งชื่อขอบเขตที่ใช้ในการจำลองแสดงดังรูปที่ 3



รูปที่ 3 โดเมนและขอบเขตการจำลอง

ตารางที่ 1 เงื่อนไขขอบเขตในการจำลอง

No.	Boundary	Momentum	Thermal
1	Inlet	Pressure-inlet	30 °C
2	Outlet	Pressure-outlet	30 °C
3	Top Wall	No-slip	30 °C
4	Heating Rod	No-slip	Heat Flux
5	Insulator	No-slip	Adiabatic
6	Wall	No-slip	Adiabatic
7	Ground	No-slip	Adiabatic
8	Symmetry	N/A	N/A

โดเมนที่แสดงในรูปที่ 3 มีเฉพาะส่วนที่เป็นน้ำที่อยู่ภายใต้ Central Rod และส่วนอื่นที่ไม่ได้ทำการพิจารณาเนื่องจากต้องการหาเพียงรูปทรงที่เหมาะสมโดยการจำลองนี้มิใช่เงื่อนไขขอบเขตแสดงดังตารางที่ 1

ในการจำลองนี้ได้กำหนดให้ความดันรวม (Total Pressure) เท่ากับศูนย์ที่ขอบเขต 1 และความดันสถิต (Static Pressure) เท่ากับศูนย์ที่ขอบเขต 2 โดยมีอุณหภูมิของน้ำเป็น 30 องศาเซลเซียส ที่ขอบเขต 1-3 ซึ่งกำหนดให้เป็นเรื่อนไขเริ่มต้น ส่วนขอบเขตที่ 3-7 กำหนดให้ความเร็วในชั้นชิดผิวเท่ากับศูนย์ ในส่วนขอบเขตที่ 4 มีการใส่ฟลักซ์ความร้อนเข้าไปตามการคำนวณในสมการที่ (1) และขอบเขต 5-7 กำหนดให้ความร้อนไม่สามารถถ่ายเท่านั้นไปได้ และในการจำลองนี้รูปทรงถูกกำหนดให้มีความสมมาตรตามแนวแกน

2.2.2 สมมติฐานการจำลองและสมการควบคุม

การจำลองนี้สมมติให้คุณสมบัติของน้ำ (ความหนาแน่น ความร้อนจ้าเพาช์ ความเร่งเนื่องจากแรงโน้มถ่วงโลก และสัมประสิทธิ์การขยายตัว) มีค่าคงที่ตามอุณหภูมน้ำที่ 30 องศาเซลเซียส และเพื่อที่จะออกแบบระบบ SCWAS นี้ได้กำหนดให้ค่าความเข้มแสงแเดดคงที่เท่ากับ 728 วัตต์ต่อตารางเมตร แต่ Solar Collector สามารถดูดซับความเข้มแสงแเดดได้เพียงร้อยละ 45 [6] และกำหนดให้จำนวนกันความร้อนได้อย่างสมบูรณ์แบบฉะนั้น ฟลักซ์ความร้อนที่จะถูกถ่ายเทจึงมีค่าเท่ากับ 328 วัตต์ต่อตารางเมตร และในการออกแบบกำหนดให้ Solar Collector มีพื้นที่เท่ากับ 1.5×1.5 ตารางเมตร ดังนั้น ความร้อนที่จะถูกถ่ายเทให้กับน้ำจึงมีค่าเป็น 738 วัตต์ และสามารถคำนวณหาฟลักซ์ความร้อน (\dot{q}) ที่จะถูกถ่ายเทให้กับน้ำได้ดังสมการที่ (1)

$$\dot{q} = \frac{Q}{A_{hr}} \quad (1)$$

โดยที่

$$\begin{aligned} Q &= \text{ความร้อนที่ถ่ายเทจาก Solar Collector มาอย่าง Central Rod (วัตต์)} \\ A_{hr} &= \text{พื้นที่ของ Central Rod ที่สัมผัสกับน้ำ ในที่นี้คือ พื้นที่ของ Heating Rod (ตารางเมตร)} \end{aligned}$$

สำหรับสมการควบคุมที่ใช้ในการจำลองนี้ ประกอบไปด้วย สมการอนุรักษ์มวล สมการโมเมนตัม และสมการพลังงาน ซึ่งทำงานร่วมกับ Boussinesq Approximation และถูกกำหนดโดย Rayleigh Number (Ra_L) เพื่อกำหนดลักษณะการไหลของน้ำที่ใกล้กับขอบเขตของ Heating Rod

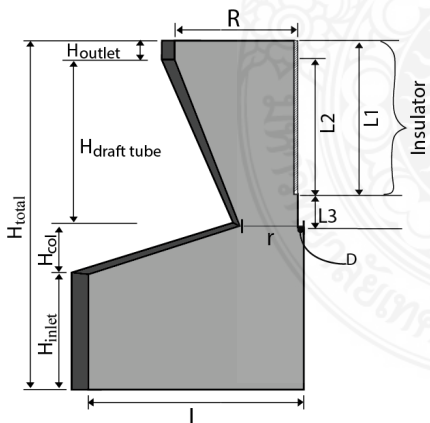
การไหลที่อยู่ใกล้กับขอบเขตของ Heating Rod ถูกสันนิษฐานให้เป็นการไหลแบบปั่นป่วน ($Ra_L > 10^9$) และในการตั้งค่าได้ใช้โนเดลของ SST k-omega เนื่องจากมีการศึกษาที่แสดงให้เห็นความเหมาะสมของ

แบบจำลองกับปัญหาที่เกี่ยวกับการไหลเวียนแบบปั่นป่วนตามธรรมชาติ [7]

SIMPLE Algorithm ถูกใช้ในการแก้สมการโมเมนต์และสมการความต่อเนื่อง QUICK Scheme ถูกนำไปใช้ในสมการโมเมนต์และสมการพลังงาน และเลือกใช้ Second Order Upwind Method สำหรับการแก้ปัญหาพลังงานที่เกี่ยวข้องกับการไหลและอัตราการขยายตัวของของไหล และใช้ PRESTO Method สำหรับเพลิงของความดัน และมีการกำหนดให้ Under Relaxation Factors สำหรับการคำนวณความดัน (Pressure) ความเร็ว (Velocity) และพลังงาน (Energy) เป็น 0.3, 0.7 และ 0.9 ตามลำดับ [7]

2.2.3 วิธีการศึกษาพารามิเตอร์ที่เกี่ยวข้อง

เพื่อหาขนาดที่เหมาะสมของรูปทรง พารามิเตอร์ที่เกี่ยวข้องได้แสดงดังรูปที่ 4 โดยในการศึกษานี้ได้แบ่งออกเป็น 2 ส่วน ส่วนแรกเป็นการศึกษาพารามิเตอร์ที่เกี่ยวข้องกับการหุ้มฉนวนบน Central Rod และส่วนที่สองเป็นการศึกษาพารามิเตอร์ที่เกี่ยวข้องกับรูปทรง โดยมีวิธีการศึกษาในแต่ละส่วนดังต่อไปนี้



รูปที่ 4 รูปทรงและพารามิเตอร์ที่ทำการศึกษา

การศึกษาพารามิเตอร์ที่เกี่ยวข้องกับการหุ้มฉนวนบน Central Rod มีพารามิเตอร์ที่เกี่ยวข้องได้แก่ L_1 : ความยาวของส่วนที่หุ้มฉนวนทั้งหมดบน Central

Rod (เมตร), L_2 : ความยาวฉนวนเฉพาะส่วนที่อยู่ภายใน Draft Tube (เมตร) และ L_3 ซึ่งเป็นความยาวของ Heating Rod ที่ความร้อนมีการถ่ายเทให้กับน้ำ (เมตร) สำหรับวัสดุประสงค์ของการศึกษานี้เพื่อทำการตรวจสอบระเบียบหุ้มฉนวนบน Central Rod ว่าส่งผลอย่างไรต่ออัตราการไหลเวียนที่เกิดขึ้นในระบบหรือไม่ โดยในการจำลองได้กำหนดความยาวของ Central Rod (L_1+L_3) ให้มีค่าคงที่ เท่ากับ 0.7 เมตร และทำการเปลี่ยนแปลงระยะ L_2 ตั้งแต่ 0 จนถึง 0.6 เมตร

สำหรับการศึกษาอิทธิพลของรูปทรงเพื่อตรวจสอบอัตราการไหลที่เกิดขึ้น มีพารามิเตอร์ 5 ตัว เกี่ยวข้องซึ่งประกอบไปด้วย D : เส้นผ่านศูนย์กลางของ Rod (นิว), R : รัศมีทางออกปล่อง (เมตร), L : ความยาวฐาน (เมตร), H_{col} : ความสูงฐาน (เมตร) และ H_{outlet} : ความสูงทางออกปล่อง (เมตร) โดยในการศึกษาได้ทำการปรับขนาดของพารามิเตอร์ไปทีละตัวตามช่วงที่กำหนดไว้ในตารางที่ 2 และทำการคงที่ขนาดของพารามิเตอร์ตัวอื่น ๆ ไว้ที่ค่าเริ่มต้น เมื่อได้ขนาดที่ดีที่สุด ซึ่งพิจารณาจากอัตราการไหลเวียนสูงสุดที่เกิดขึ้น Jessie ได้คงที่ขนาดที่ดีที่สุดของพารามิเตอร์ตัวอื่นถัดไป

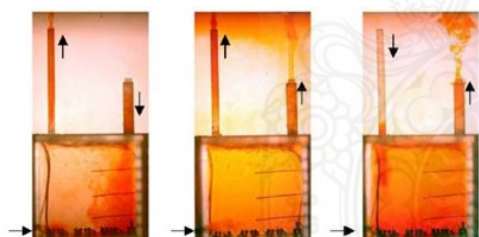
ตารางที่ 2 ขนาดพารามิเตอร์ที่ทำการศึกษา

Parameter	Initial Value	Varied Range
L_1 (m)	-	0.05 - 0.65
L_2 (m)	-	0 - 0.6
L_3 (m)	-	0.65 - 0.05
D (inch)	1	1 - 4
r (m)	0.1	-
R (m)	0.2	0.1 - 0.2
L (m)	0.7	0.2 - 1
H_{col} (m)	0.3	0.05 - 0.4
H_{outlet} (m)	0.05	0.025 - 0.2
H_{inlet} (m)	0.5	-
H_{total} (m)	0.5	-

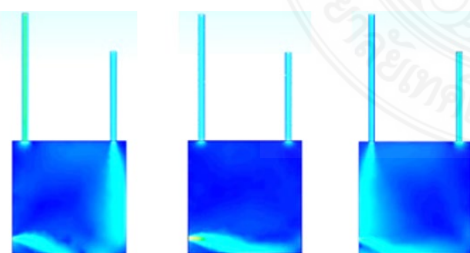
ในทุกการจำลองได้กำหนดให้ r , H_{inlet} และ H_{total} เป็นค่าคงที่ไม่ได้ทำการเปลี่ยนแปลงขนาดเนื่องจากได้กำหนดให้รัศมีทางเข้าปล่องคงที่ในตอนแรก และค่าของ H_{inlet} และ H_{total} คงที่ตามเงื่อนไขของบ่อที่จะใช้ในการทดสอบระบบ

2.2.4 การตรวจสอบความถูกต้องของแบบจำลอง

ก่อนทำการจำลองเพื่อหารูปทรงที่เหมาะสมของระบบ SCWAS ได้ทำการตรวจสอบการใช้งานโปรแกรมของผู้วิจัยเองเพื่อให้แน่ใจว่าสามารถจำลองระบบที่เกี่ยวข้องกับการไหลโดยธรรมชาติได้ โดยการเปรียบเทียบนี้ได้ดำเนินการตรวจสอบกับความของ Chenvidyakarn and Woods [8] ซึ่งเป็นบทความที่ศึกษาการระบายความร้อนภายในอาคาร โดยในการทดลองได้ใช้น้ำแทนอากาศเป็นของไหลและใช้ฮีตเตอร์เป็นแหล่งความร้อนให้กับชุดทดสอบ โดยผลจากการเปรียบเทียบชุดทดสอบกับแบบจำลองแสดงดังรูปที่ 5



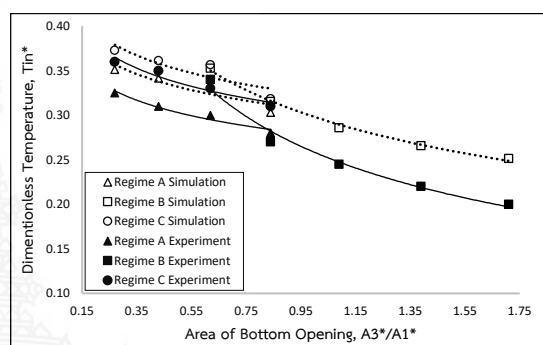
ก) ผลจากชุดทดสอบ [8]



ข) ผลจากแบบจำลอง

รูปที่ 5 การเปรียบเทียบผลเชิงคุณภาพของชุดทดสอบ กับแบบจำลอง ข) โดยรูปจากซ้ายไปขวาคือ Regime A, Regime B และ Regime C ตามลำดับ

จากการเปรียบเทียบผลเชิงคุณภาพของชุดทดสอบ (ก.) กับแบบจำลอง (ข.) ในรูปที่ 5 แสดงให้เห็นลักษณะการไหลที่คล้ายคลึงกันของทั้ง 3 Regimes ซึ่งสังเกตได้จากสีที่ปราฏูตรทางเข้าและปล่องทางออกของชุดทดสอบกับแบบจำลอง นอกจากนี้ยังได้ทำการตรวจสอบผลในเชิงปริมาณเพื่อเป็นการยืนยันเชิงตัวเลขร่วมด้วย



รูปที่ 6 การเปรียบเทียบผลเชิงปริมาณของชุดทดสอบ กับแบบจำลอง ทั้ง 3 Regimes

จากการเปรียบเทียบผลเชิงปริมาณของชุดทดสอบ (Experiment) กับแบบจำลอง (Simulation) ในรูปที่ 6 แสดงให้เห็นว่า แนวโน้มของข้อมูลทั้ง 2 ชุด มีพิเศษทางเดียว กัน และเป็นเช่นนี้ทั้ง 3 Regimes และผลจากการเปรียบเทียบอุณหภูมิรีเมิติ พบรความคลาดเคลื่อนอยู่ในช่วง 2 – 25% โดยความคลาดเคลื่อนนี้มีสาเหตุมาจากการจำลองสมมติให้ความร้อนมีการกระจายอย่างทั่วถึงที่บริเวณพื้น แต่ในชุดทดสอบเป็นการติดตั้งฮีตเตอร์เพื่อให้ความร้อนที่ตำแหน่งตรงกลางของพื้น ด้วยเหตุผลนี้จึงทำให้ค่าอุณหภูมิที่ได้จากการจำลองคลาดเคลื่อนไปจากการวัดจริงของชุดทดสอบ

3. การประเมินผล

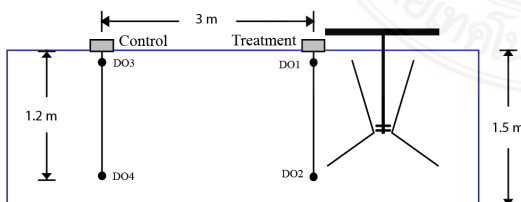
เพื่อตรวจสอบการทำงานของระบบ SCWAS ได้นำชุดทดสอบ SCWAS ไปทดลองกับบ่อของมหาวิทยาลัยเทคโนโลยีสุรนารี โดยชุดทดสอบที่ทำการติดตั้งภายใต้บ่อแสดงดังรูปที่ 7



รูปที่ 7 ชุดทดลอง SCWAS ที่ติดตั้งภายในบ่อ

เพื่อประเมินความสามารถในการทำงานของระบบ SCWAS ได้ทำการวัดค่าออกซิเจนที่ละลายน้ำ (DO) ที่ตำแหน่ง Treatment และ Control ซึ่งเป็นตำแหน่งที่ได้รับผลกระทบจากชุดทดลองและจุดที่ควบคุมให้เป็นไปตามธรรมชาติ ซึ่งแต่ละตำแหน่งทำการวัด DO 2 ระดับ คือที่ผิวน้ำชั้นบน (DO1 และ DO3) และน้ำชั้นล่าง (DO2 และ DO4) โดยจุดวัด DO ดังกล่าวแสดงในรูปที่ 8

ในการวัดออกซิเจนที่ละลายน้ำ ได้ใช้ DO Analog Dissolved Oxygen Sensor Meter Kit โมเดล SKU:SEN0237 (ที่ทำการต่อสัญญาณเข้ากับบอร์ด Arduino เรียบร้อยแล้ว) จุ่มลงไปในบ่อ โดยจุดวัด DO1 และ DO3 ห่างจากผิวน้ำเป็นระยะ 10 เซนติเมตร จุดวัด DO2 และ DO4 ห่างจากผิวน้ำเป็นระยะ 120 เซนติเมตร ซึ่งแต่ละจุดทำการบันทึกค่า DO ทุก ๆ 15 นาที และบันทึกข้อมูลไว้ใน Data Logger ที่ตำแหน่ง Treatment และ Control



รูปที่ 8 ตำแหน่งการติดตั้งจุดวัด DO ภายในบ่อทดลอง

สำหรับการประเมินความสามารถของระบบ SCWAS ได้ทำการเปรียบเทียบค่า DO ของตำแหน่ง

Treatment กับ Control ซึ่งได้ทำการเปรียบเทียบทั้งผิวน้ำชั้นบนและผิวน้ำชั้นล่าง โดยค่าที่ได้จะสามารถบอกได้ว่าระบบมีความสามารถในการเติมออกซิเจนได้มากน้อยแค่ไหนเมื่อเทียบกับบ่อปกติที่ไม่ได้ติดระบบเติมอากาศใด ๆ โดยมีสมการที่ใช้ในการเปรียบเทียบเป็นดังนี้

$$\text{Evaluation} = \frac{\text{DO}_{\text{Treatment}}}{\text{DO}_{\text{Control}}} \quad (2)$$

โดยที่

$$\text{DO}_{\text{Treatment}} = \text{ค่าออกซิเจนที่ละลายน้ำที่ตำแหน่ง Treatment (มิลลิกรัมต่อลิตร)}$$

$$\text{DO}_{\text{Control}} = \text{ค่าออกซิเจนที่ละลายน้ำที่ตำแหน่ง Treatment (มิลลิกรัมต่อลิตร)}$$

สำหรับการประเมินทางเศรษฐศาสตร์เพื่อประเมินความคุ้มค่าในการเลือกใช้งานระบบ SCWAS ได้ใช้ตัวชี้ 3 วัดประกอบกัน ได้แก่ NPV, PBP และ IRR ซึ่งมีนิยามและสมการดังนี้

NPV (Net Present Value) คือ การประเมินมูลค่าปัจจุบันสุทธิของโครงการได้ ๆ โดย NPV คิดจากผลรวมของมูลค่าปัจจุบันในแต่ละปีตามอัตราส่วนลดที่กำหนด หากมีค่าเป็นบวกหมายความว่าโครงการนั้นมีกำไรจากการประเมินมูลค่า ณ ปัจจุบัน ซึ่งมีสมการคำนวณดังนี้

$$\text{NPV} = \sum_{t=0}^n \frac{R_t}{(1+i)^t} \quad (3)$$

โดยที่

$$R_t = \text{กระแสเงินสดสุทธิในแต่ละปี (บาท)}$$

$$i = \text{อัตราส่วนลด (ร้อยละ)}$$

$$N = \text{ระยะเวลาในการลงทุนสำหรับโครงการได ๆ}$$

$$t = \text{จำนวนงวดที่คิดมูลค่า (งวด)}$$

PBP (Payback Period) คือ ระยะเวลาคืนทุนสำหรับการลงทุนกับโครงการใด ๆ โดยในการคำนวณได้คิดอัตราส่วนลดร่วมด้วย ซึ่งสมการที่ใช้ในการคำนวณเป็นดังนี้

$$PBP = y + \frac{\text{abs}(n)}{p} \quad (4)$$

โดยที่

- y = จำนวนปีก่อนที่มูลค่าสะสมเป็นบวก (ปี)
 $\text{abs}(n)$ = มูลค่าสะสมของปีที่ y โดยใช้ค่าบวก (บาท)
 p = มูลค่าสะสมเริ่มต้นที่มีค่าเป็นบวก (บาท)

IRR (Internal Rate of Return) คือ อัตราผลตอบแทนเฉลี่ยรายปี ซึ่งเป็นตัวชี้วัดผลตอบแทนความคาดหวังที่จะได้รับในแต่ละปีเมื่อทำการลงทุนกับโครงการใด ๆ โดยในการคำนวณคิดอยู่บนพื้นฐานของ NPV เท่ากับศูนย์และปราศจากการคิดอัตราส่วนลด และโดยทั่วไปการคำนวณหา IRR มักมีความซับซ้อนจึงนิยมใช้ฟังก์ชันสำเร็จรูปใน Excel เพื่อทำการคำนวณโดยมีวิธีการดังนี้

$$= \text{IRR} (\text{first cell : last cell}) \times 100\% \quad (5)$$

โดยที่

- first cell = ระบุ Cell เริ่มต้นของกระแสเงินสด
last cell = ระบุ Cell สุดท้ายของกระแสเงินสด

ในการประเมินความคุ้มค่าในการเลือกใช้งานระบบ SCWAS ได้ทำการเปรียบเทียบกับ Pump และ Paddle Wheel ซึ่งเป็นระบบที่ใช้ไฟฟ้าในการเติมอากาศ โดยในการประเมินได้กำหนดให้พารามิเตอร์บางตัวเท่ากัน เช่น จำนวนปลาที่เลี้ยง (ตัว/รอบ) สำหรับบ่อที่ติดตั้งระบบ SCWAS และ Pump ส่วน Paddle Wheel ที่กำหนดให้จำนวนปลาที่เลี้ยง (ในตารางที่ 3) มีจำนวนมากกว่าอีก 2 ระบบ เนื่องจาก Paddle Wheel มีความสามารถในการเติมออกซิเจนเข้าสู่บ่อสูงจึง

ประเมินให้จำนวนปลาในบ่อ มีความหนาแน่นมากกว่าสำหรับการคิดค่าไฟฟ้าของ Pump และ Paddle Wheel ได้คำนวณจากกำลังวัตต์ของอุปกรณ์ที่เปิดใช้งานในแต่ละเดือน โดยคิดค่าไฟฟ้าตามอัตราการใช้งานที่ กฟน. กำหนด และสำหรับเงื่อนไขการคำนวณเพื่อนำไปประมาณค่าของอุปกรณ์เติมอากาศทั้ง 3 ชนิด แสดงไว้ดังตารางที่ 3

ตารางที่ 3 เงื่อนไขการคำนวณทางเศรษฐศาสตร์ของอุปกรณ์เติมอากาศทั้ง 3 ชนิด

รายการ	อุปกรณ์เติมอากาศ		
	SCWAS	Pump	Paddle Wheel
กำลังงานไฟฟ้าที่ใช้ (วัตต์)	-	200	1491
จำนวนปลาที่เลี้ยง (ตัว/รอบ)	312	312	628
ค่าพันธุ์ปลา (บาท/ตัว)	10	10	10
ค่าอาหาร (บาท/กг.)	25	25	25
จำนวนอาหารที่ใช้ (กг./รอบ)	615	615	615
น้ำหนักปลาสุดท้าย (กг./ตัว)	1.23	1.23	1.23
ราคาขายปลา (บาท/กг.)	60	60	60
i (อัตราส่วนลด) (%/ปี)	3	3	3
อายุโครงการ (ปี)	10	10	10
ค่าใช้ (%/ปี)	10	10	10

ในการคำนวณทางเศรษฐศาสตร์ได้กำหนดให้การเพาะเลี้ยงในแต่ละรอบใช้เวลา 5 เดือนเพื่อเก็บผลผลิตไปจำหน่าย ดังนั้น i (อัตราส่วนลด) ที่ใช้ในการคำนวณแต่ละรอบจึงมีค่าเท่ากับร้อยละ 1.25

4. ผลการศึกษา

ผลการศึกษาประกอบด้วย 3 ส่วนคือ ผลที่ได้การจำลองด้วยคอมพิวเตอร์เพื่อหาขนาดที่เหมาะสมของระบบ ผลที่ได้จากการทดสอบกับบ่อ และผลจากการประเมินทางเศรษฐศาสตร์เพื่อเป็นทางเลือกในการลงทุน ซึ่งผลที่ได้แสดงดังต่อไปนี้

4.1 ผลการจำลองด้วยคอมพิวเตอร์

จากการจำลองระบบ SCWAS ในโปรแกรม Ansys Fluent เพื่อหาขนาดที่ดีที่สุดของระบบ โดยทำการพิจารณาจากอัตราการไหลที่เกิดขึ้น ได้ผลดังนี้

4.1.1 การศึกษาอิทธิพลความยาววนบนแห่งนำความร้อน

การจำลองนี้เป็นการศึกษาอิทธิพลความยาววนบนแห่งนำความร้อน (L_2) เพื่อศึกษาความถูกต้องของตัวอย่างที่ต้องการให้เกิดขึ้นในระบบหรือไม่ ซึ่งผลที่ได้แสดงดังตารางที่ 4

ตารางที่ 4 อิทธิพลความยาววนบนแห่งนำความร้อนที่ส่งผลต่ออัตราการไหลเวียน

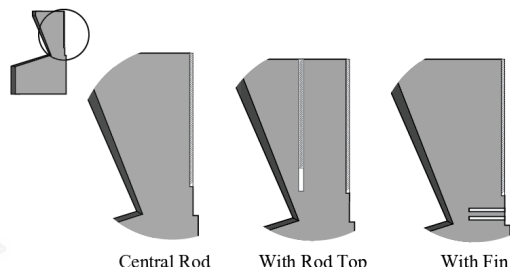
L_2 (m)	Flow Rate (L/s)	Ratio
0.00	0.26	1.00
0.10	0.28	1.09
0.20	0.31	1.22
0.30	0.36	1.39
0.35	0.39	1.51
0.40	0.42	1.63
0.45	0.45	1.76
0.55	0.53	2.08
0.60	0.62	2.41

จากตารางที่ 3 พบว่าเมื่อระยะ L_2 เพิ่มขึ้น ส่งผลให้อัตราการไหลเวียนเพิ่มขึ้น และเพิ่มมากที่สุด เมื่อ L_2 เท่ากับ 0.6 เมตร และจากผลจะเห็นว่าอัตราการไหลเพิ่มสูงถึง 2.41 เท่าเมื่อเทียบกับกรณีไม่มีฉนวน ($L_2 = 0$ เมตร) ดังนั้นจะเห็นว่าการติดฉนวนเข้าไปทุ้มแห่งนำความร้อนด้วยระยะที่เหมาะสมจะทำให้อัตราการไหลเวียนเพิ่มขึ้นได้

4.1.2 การศึกษารูปแบบการติดตั้งแห่งนำความร้อน

การศึกษานี้เป็นการเปรียบเทียบรูปแบบการติดตั้งแห่งนำความร้อน 3 แบบ ได้แก่ Central Rod,

With Rod Top และ With Fin ซึ่งแบบแรกมีเฉพาะแห่งนำความร้อนที่อยู่ตรงกลาง แบบที่สองเป็นแบบที่เพิ่มแห่งนำความร้อนเข้ามาล้อมรอบแบบแรก และแบบสุดท้ายมีการใส่ครีบเข้ามาที่ส่วนปลายของแห่งนำความร้อน โดยรูปแบบการติดตั้งแห่งนำความทั้ง 3 แสดงดังรูปที่ 9



รูปที่ 9 การติดตั้งแห่งนำความร้อนทั้ง 3 รูปแบบ

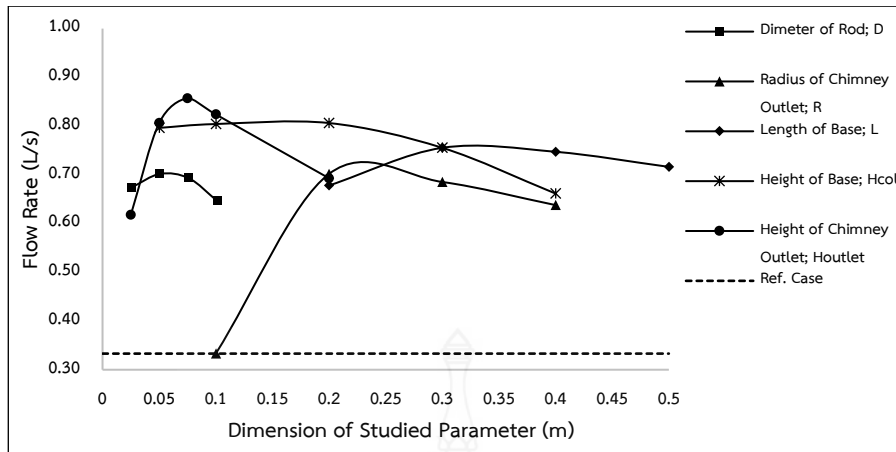
ตารางที่ 5 รูปแบบการติดตั้งแห่งนำความร้อนที่ส่งผลต่ออัตราการไหลเวียน

Model	Flow Rate (L/s)	Ratio
Central Rod	0.6186	1.00
With Rod Top	0.4953	0.80
With Fin	0.7042	1.14

จากตารางที่ 5 พบว่ารูปแบบการติดตั้งแห่งนำความร้อนที่มีครีบ (With Fin) ให้อัตราการไหลเวียนสูงที่สุด และคิดเป็น 1.14 เท่าเมื่อเทียบกับแบบ Central Rod และการติดตั้งแห่งนำความร้อนแบบ With Rod Top ให้อัตราการไหลเวียนน้อยที่สุดเมื่อเทียบกับรูปแบบอื่น ๆ ซึ่งยังต้องการให้หลอดลงเป็นผลเนื่องมาจากแห่งนำความร้อนที่เพิ่มเข้ามาในรูปแบบของ With Rod Top ช่วยการการไหลของน้ำที่ทางออก จึงส่งผลให้อัตราการไหลเวียนที่ผ่านระบบมีค่าลดลง

4.1.3 การศึกษาอิทธิพลของรูปทรง

เพื่อตรวจสอบผลกระทบจากการเปลี่ยนแปลงขนาดของรูปทรงตั้งแสดงในรูปที่ 4 ได้ทำการศึกษาพารามิเตอร์ 5 ตัว ดังต่อไปนี้



รูปที่ 10 อิทธิพลขนาดของรูปทรงที่ส่งผลต่ออัตราการไหลเวียน

D : เส้นผ่านศูนย์กลางของ Rod (นิ้ว)

R : รัศมีทางออกปล่อง (เมตร)

L : ความยาวฐาน (เมตร)

Hcol : ความสูงฐาน (เมตร)

Houtlet : ความสูงทางออกปล่อง (เมตร)

โดยผลที่ได้จากการจำลองแสดงดังรูปที่ 10

รูปที่ 10 เป็นการแสดงอัตราการไหลที่เกิดจาก การเปลี่ยนแปลงขนาดของพารามิเตอร์ทั้ง 5 ตัว จาก รูปแสดงให้เห็นว่า ขนาดของพารามิเตอร์มีอิทธิพลต่อ อัตราการไหลเวียนที่เกิดขึ้นในระบบ และพารามิเตอร์ ตัวหนึ่ง ๆ จะมีขนาดที่เหมาะสมของตัวมันเอง โดย สังเกตจากเส้นกราฟมีการเพิ่มขึ้นในตอนแรกและลดลง ในช่วงหลัง สำหรับการลดลงของอัตราการไหลในช่วง หลังที่เกิดจากการเพิ่มขนาดของพารามิเตอร์ เป็นผลมา จากการเจอค่าที่เหมาะสมของพารามิเตอร์ตัวนั้นร่วมกับ พารามิเตอร์ตัวอื่น ๆ แล้ว จึงส่งผลให้อัตราการไหลมีค่า ลดลงแม้จะมีการเพิ่มขนาดของพารามิเตอร์ไปอีก็ตาม ดังนั้น ในวิธีการศึกษาจึงได้คงที่ค่าที่ดีที่สุดของ พารามิเตอร์ตัวที่เหมาะสมที่สุดไว้ และทำการศึกษา พารามิเตอร์ตัวอื่นไป ซึ่งผลจากการจำลองพบว่าขนาดที่ เหมาะสมสำหรับรูปทรงให้ D เท่ากับ 2 นิ้ว, R เท่ากับ 0.2 เมตร, L เท่ากับ 0.3 เมตร, H_{col} เท่ากับ 0.2 เมตร

และ H_{outlet} เท่ากับ 0.075 เมตร โดยมีอัตราการ ไหลเวียนเท่ากับ 0.86 ลิตรต่อวินาที

นอกจากนี้ยังได้ทำการจำลองขยายรูปทรงใน แนวราบด้วยสัดส่วนของ r : R : L เป็น 1 : 2 : 3 เพื่อดู ผลกระทบที่เกิดจากการเปลี่ยนขนาดตามแนวราบ ซึ่ง ผลที่ได้จากการจำลองแสดงดังตารางที่ 6

ตารางที่ 6 อิทธิพลการขยายรูปทรงในแนวราบที่ส่งผล ต่ออัตราการไหลเวียน

r (m)	R (m)	L (m)	Flow Rate (L/s)	
			Central Rod	With Fin
0.10	0.20	0.30	0.86	0.92
0.15	0.30	0.45	1.04	1.30
0.20	0.40	0.60	1.20	1.77
0.25	0.50	0.75	1.33	2.24

จากตารางที่ 6 พบว่า เมื่อรูปทรงขยายใหญ่ขึ้น ส่งผลให้อัตราการไหลเวียนเพิ่มขึ้น เนื่องจากน้ำ ไหลเวียนได้สะดวกยิ่งขึ้นเมื่อรูปทรงกว้างขึ้น และจาก การเปรียบเทียบรูปแบบการติดตั้งแห่งน้ำมาร้อน พบว่า แบบ With Fin ให้อัตราการไหลเวียนที่ดีกว่า แบบ Central Rod ดังนั้น ในการสร้างจริงควรติด

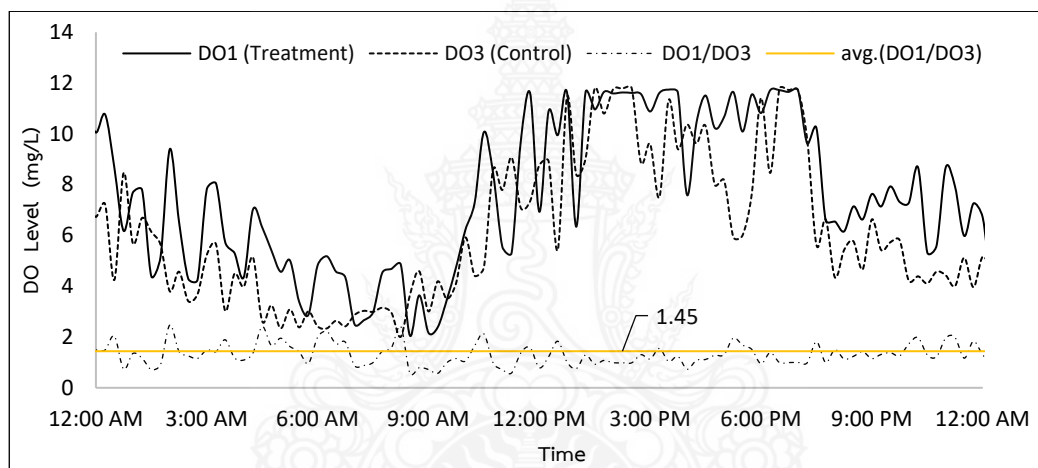
ครีบเข้าไปบน Central Rod ด้วยเพื่อทำให้อัตราการไหหลวянของน้ำเพิ่มขึ้น

4.2 ผลการทดลอง

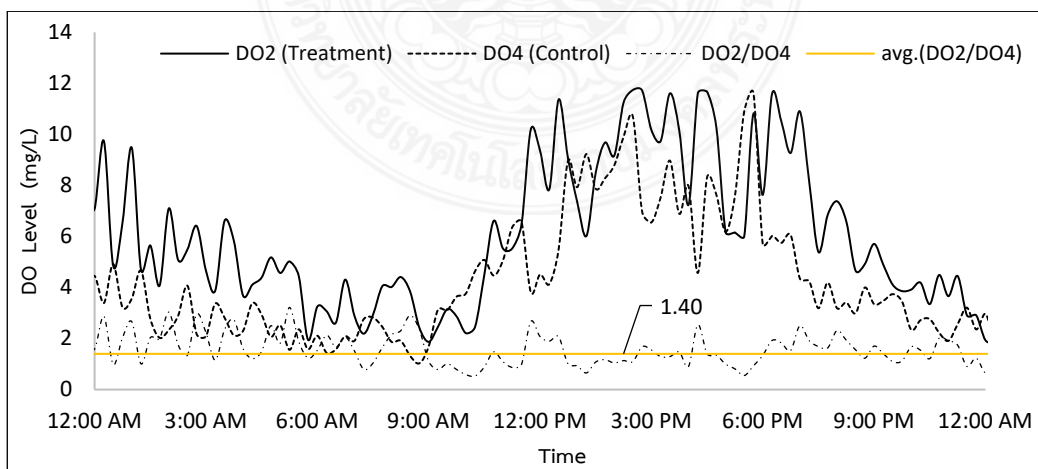
ในหัวข้อนี้เป็นการนำเสนอผลจากการทดสอบระบบ SCWAS ที่ติดตั้งภายในบ่อทดลอง โดยผลที่ได้เป็นดังนี้

รูปที่ 11 เป็นการแสดงค่า DO ที่ผิวน้ำชั้นบนที่เกิดขึ้นในรอบวัน จากการทดลองพบว่า ค่า DO ทั้ง 2 ตำแหน่ง (Treatment และ Control) เพิ่มขึ้นในตอน

กลางวันและลดลงหลัง 18.00 น. (6:00 PM) และในตอนเที่ยงคืนมีค่าเพิ่มขึ้นอีกร้อยละจากนั้นจึงลดลง ที่เป็นเช่นนี้เนื่องจาก ในช่วงกลางวันระบบ SCWAS สามารถทำงานได้ดีและเป็นปกติเนื่องจากมีแสงแดดรุ่งอรุณ และเมื่อแสงแดดรุ่งอรุณในช่วงเย็นทำให้ค่า DO เริ่มลดลงตามไปด้วย และในช่วงกลางคืนจะสังเกตเห็นว่าค่า DO เพิ่มขึ้นอีกร้อยละ เนื่องจากในช่วงกลางวัน Solar Collector ดูดซับความร้อนไว้ พลังงานความร้อนจึงถูกสะสมไว้ภายในเนื้อวัสดุ เมื่อตกดึกอากาศเย็นตัวลง ความร้อนที่สะสมไว้ได้หายออกมาให้กับน้ำที่อยู่ภายใต้



รูปที่ 11 การเปลี่ยนแปลง DO ระหว่างวันที่ผิวน้ำชั้นบน

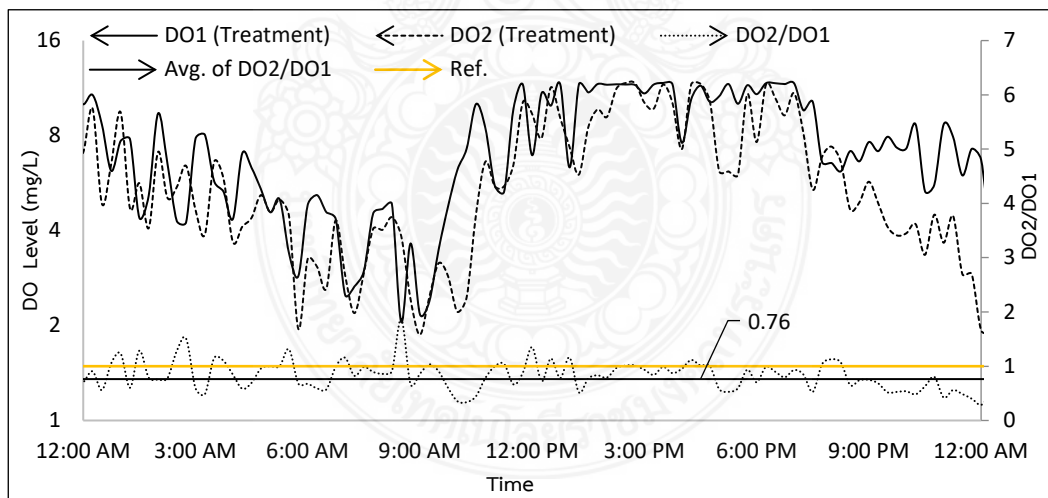


รูปที่ 12 การเปลี่ยนแปลง DO ระหว่างวันที่น้ำชั้นล่าง

ระบบ และเมื่อน้ำได้รับความร้อนจึงอุ่นขึ้นและเกิดการไหลแบบย้อนกลับจากตอนกลางวัน ด้วยเหตุผลนี้จึงทำให้ค่า DO เพิ่มขึ้นได้ในช่วงกลางคืน แต่การคาดความร้อนนี้หยุดลงเมื่ออุณหภูมิของแผ่น Solar Collector เท่ากับอุณหภูมิสิ่งแวดล้อม จึงส่งผลให้ค่า DO ในช่วงหลังจากเที่ยงคืนเริ่มลดลงเรื่อยๆ และค่า DO จะเพิ่มขึ้นอีกครั้งในช่วงที่มีแสงแดด จากการเปรียบเทียบค่า DO ที่ดำเนินการ Treatment และ Control ซึ่งแสดงเป็น DO1 และ DO3 ตามลำดับ พบร้าเกือบทุกช่วงเวลา DO1 สูงกว่า DO3 มีพีจังบากช่วงเวลาที่ DO3 เทียบเท่ากับ DO1 คือช่วงเวลาประมาณ 12.00 น. – 15.00 น. (2:00 PM – 3:00 PM) นั่นหมายความว่าเมื่อความเข้มแสงแเดงสูง ระบบยังสามารถสร้างการไหลเวียนน้ำได้ดียิ่งขึ้น จนทำให้จุด Control ได้รับ DO จากจุด Treatment จนมีค่าความเข้มข้นของ DO อยู่ในระดับที่สอดคล้องกัน นอกจากนี้ยังพบว่าค่า DO โดยเฉลี่ยที่ดำเนินการ Treatment มีค่าเป็น 1.45 เท่าของดำเนินการ

Control ซึ่งเป็นตัวบ่งชี้ว่าระบบนี้สามารถเพิ่มค่า DO ให้กับบ่อได้ถึง 1.45 เท่าเมื่อเทียบกับบ่อทั่วไปที่ไม่ได้ติดตั้งระบบเติมอากาศ

รูปที่ 12 เป็นการแสดงค่า DO ที่ผิวน้ำชั้นล่างที่เกิดขึ้นในรอบวัน จากรูปจะเห็นว่าแนวโน้มทั้ง 2 จุด (Treatment และ Control) ที่ทำการวัด DO มีลักษณะเช่นเดียวกัน และมีแนวโน้มเช่นเดียวกับ DO ที่ผิวน้ำชั้นบนด้วย ที่เป็นชั้นนี้ เนื่องจากลักษณะทางกายภาพของบ่อจึงทำให้ค่า DO ทั้ง 4 จุดมีแนวโน้มไปในทิศทางเดียวกัน และจากการเปรียบเทียบค่า DO ที่ดำเนินการ Treatment และ Control พบร้า DO2 มีค่ามากกว่า DO4 ตลอดทั้งวัน และมีค่าเป็น 1.40 เท่า นั่นหมายความว่า ระบบ SCWAS นี้สามารถเพิ่มค่า DO ให้กับน้ำชั้นล่างของบ่อได้ และในช่วงเวลากลางคืนระบบ SCWAS ยังสามารถเพิ่มค่า DO ได้ด้วยการช่วยให้น้ำเกิดการแพร่ของ DO จากผิวน้ำชั้นบนลงมาสู่ชั้นล่าง



รูปที่ 13 การเปลี่ยนแปลงค่า DO ในรอบวันที่ดำเนินการ Treatment

รูปที่ 13 เป็นกราฟแสดงการเปลี่ยนแปลง DO ในรอบวันที่ดำเนินการ Treatment ทั้ง 2 ระดับ (DO1 และ DO2) จากรูปแสดงให้เห็นว่าค่า DO1 สูงกว่าค่า

DO2 เกือบทตลอดเวลาที่ทำการทดลอง อย่างไรก็ตามจากการเปรียบเทียบค่า DO ทั้ง 2 ระดับพบร้า ระบบสามารถเติมออกซิเจนที่ด้านล่างบ่อได้ โดยดูจากสัดส่วน

ของ DO2 เมื่อเทียบกับ DO1 (DO2/DO1) ซึ่งมีค่าเท่ากับ 0.76 และหากค่านี้เข้าใกล้ 1 หมายความว่าระบบสามารถเติมออกซิเจนให้กับน้ำที่ขึ้นล่างได้ร้อยละ 100 และในอีกทางหนึ่งหมายความว่า ระดับ DO ของน้ำขึ้นล่างเข้าใกล้กับระดับ DO ของน้ำที่ผิวน้ำด้วย และสามารถกล่าวได้ว่า ระบบ SCWAS สามารถปรับปรุงค่า DO ภายในบ่อให้สูงขึ้นได้

4.3 ผลการประเมินทางเศรษฐศาสตร์

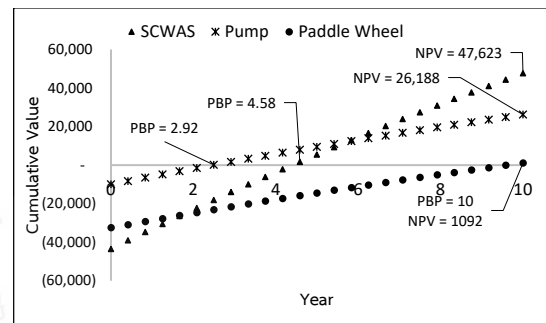
เพื่อการตัดสินใจเลือกใช้งานระบบ SCWAS ได้ทำการประเมินความคุ้มค่าทางเศรษฐศาสตร์และการเบริ่งเทียบกับปั๊พะเลี้ยงที่ใช้ปั๊มลม (Pump) และกังหันน้ำ (Paddle Wheel) ร่วมด้วย โดยในการประเมินได้ใช้ 3 ตัวแปรประกอบการตัดสินใจ ได้แก่ NPV, PBP และ IRR ซึ่งผลที่ได้เป็นดังนี้

ตารางที่ 7 การประเมินมูลค่าแบบแยกรายการของอุปกรณ์เติมอากาศทั้ง 3 ชนิด

รายการ	อุปกรณ์เติมอากาศ			
	SCWAS	Pump	Paddle Wheel	
Capital Cost	เงินลงทุนค่าอุปกรณ์	-43,500	-10,000	-32,500
Flexibility Cost	ค่าพัฒนาปั๊ปula	-3,120	-3,120	-6,280
	ค่าอาหารปั๊ปula	-15,375	-15,375	-15,375
	ค่าไฟฟ้า	0	-2,524	-22,810
Fix Cost	ค่าบำรุงรักษา	-200	-200	-200
Income	รายได้จากการขาย	22,932	22,932	46,158
	ค่าซาก	181	42	135
Annual Cost	มูลค่าสุทธิแต่ละรอบ	4,418	1,755	1,629

เพื่อประเมินความคุ้มค่าในการลงทุน ได้นำเงินลงทุนค่าอุปกรณ์ (Capital Cost) และมูลค่าสุทธิในแต่ละรอบของการเพาะเลี้ยง (Annual Cost) ในตารางที่ 7

ไปคำนวณหา NPV และ PBP ซึ่งผลที่ได้แสดงดังรูปที่ 14



รูปที่ 14 การประเมินทางเศรษฐศาสตร์ของอุปกรณ์เติมอากาศทั้ง 3 ชนิด

รูปที่ 14 เป็นการแสดงจุดคุ้มทุน (PBP) และกำไรสุทธิเมื่อสิ้นสุดโครงการ (NPV) ของทั้ง 3 อุปกรณ์ จากรูปแสดงให้เห็นว่า หากในการเพาะเลี้ยงมีการใช้ Pump เป็นอุปกรณ์เติมอากาศ จะคืนทุนเร็วที่สุดภายในเวลา 2.50 ปี รองลงมาคือระบบ SCWAS จะคืนทุนภายใน 4.58 ปี และสุดท้ายเป็น Paddle Wheel จะคืนทุนในปีที่ 10 และเมื่อพิจารณาที่ NPV จะพบว่า ระบบ SCWAS มีกำไรสุทธิเมื่อสิ้นสุดโครงการมากกว่า Pump และ Paddle Wheel และจากการคำนวณหาอัตราผลตอบแทนเฉลี่ยรายปี (IRR) ยังพบว่า IRR ของ SCWAS, Pump และ Paddle Wheel เป็นร้อยละ 21.17, 41.17 และ 3.68 ตามลำดับ และจากการคำนวณIRR ข้างต้น ถึงแม้ว่า SCWAS ให้อัตราผลตอบแทนต่ำกว่าการใช้ Pump แต่ IRR ของระบบ SCWAS ยังสามารถเพิ่มขึ้นได้ หากเกษตรกรสร้างระบบขึ้นมาใช้เองเพื่อลดต้นทุนในการผลิต และใช้วัสดุที่มีในชุมชนเพื่อนำมาประกอบตามขนาดรูปทรงที่ได้จากงานวิจัย นอกจากการทำเช่นนี้จะช่วยเพิ่มค่า IRR ได้แล้ว ยังช่วยให้ระยะเวลาคืนทุนเร็วขึ้น เนื่องจากใช้ต้นทุนในการผลิตต่ำลง นอกจากนี้ยังช่วยเพิ่มกำไรเมื่อสิ้นสุดโครงการได้อีกทางหนึ่งด้วย และสุดท้ายพบว่า

หากในบ่อเพาะเลี้ยงเลือกใช้งานระบบ SCWAS จะสามารถลดต้นทุนได้ถึงร้อยละ 17.49 เมื่อเทียบกับบ่อที่ใช้ Paddle Wheel

5. สรุปผลการศึกษาและข้อเสนอแนะ

จากการศึกษาระบบที่มีมาศแบบน้ำไหลเวียน พลังงานแสงอาทิตย์ (SCWAS) ที่ได้นำเสนอในบทความนี้ สามารถสรุปได้ดังนี้

- การหุ้มนวนบนแท่งนำความร้อนส่งผลต่อ อัตราการไหลของน้ำในระบบ โดยฉนวนความร้อนที่มี ความยาวมากขึ้นจะส่งผลให้อัตราการไหลเวียนเพิ่มขึ้น อย่างไรก็ตามระยะในการหุ้มนวนที่ดีไม่ควรยาวมาก จนเกินไปจนไม่มีระยะให้ความร้อนถ่ายเทอกันได้

- อิทธิพลของการขยายรูปทรงในแนวราบส่งผล ให้อัตราการไหลเวียนเพิ่มขึ้นอย่างมาก ซึ่งขนาดที่ดีที่สุด ที่แนะนำสำหรับ $r: R: L$ ควรเป็น 1: 2: 3

- ผลจากการทดสอบระบบที่ค่าออกซิเจนที่ ละลายน้ำที่ชั้นล่างของป้อมีค่าใกล้เคียงกับค่า ออกซิเจนที่ผิวน้ำชั้นบน และจากการเปรียบเทียบค่า ออกซิเจนที่ต่างๆ Treatment กับ Control ของทั้ง 2 ระดับ พบร่วมที่ผิวน้ำชั้นบนออกซิเจนเพิ่มขึ้น 1.45 เท่า และน้ำชั้นล่างออกซิเจนเพิ่มขึ้น 1.40 เท่า

- จากการประเมินทางเศรษฐศาสตร์พบว่า ระบบ SCWAS สามารถคืนทุนได้ภายใน 4.58 ปี และมี NPV เท่ากับ 47,623 บาทตลอดระยะเวลาโครงการ และเมื่อเทียบกับ Paddle Wheel พบร่วมมีงบลงทุนต่ำ กว่าร้อยละ 17.49

- ระบบ SCWAS ที่ทำการศึกษานี้สามารถ ทำงานได้ในรัศมี 3 เมตร นับหมายความว่าระบบนี้ เหมาะสมกับบ่อที่มีพื้นที่ 27 ตารางเมตร หรือหากบ่อของ เกษตรกรมีขนาดใหญ่ควรตั้งทุก ๆ 27 ตารางเมตรเพื่อ การทำงานที่ดีในการเติมออกซิเจนให้กับบ่อ

6. กิตติกรรมประกาศ

ขอขอบคุณมหาวิทยาลัยเทคโนโลยีสุรนารีที่มอบ ทุนกิตติบัณฑิต และขอบคุณทุนสนับสนุนการวิจัย จากโครงการ การพัฒนาระบบที่มีอากาศและเครื่องให้ อาหารปลาอัตโนมัติสำหรับสมาร์ทฟาร์มเมอร์ ในการทำ การวิจัยครั้งนี้

7. เอกสารอ้างอิง

- [1] S. D. Culberson and R. H. Piedrahita, “Aquaculture pond ecosystem model: temperature and dissolved oxygen prediction-mechanism and application,” *Ecological modelling*, vol. 89, no. 1-3, pp. 231-258, Aug. 1996.
- [2] A. Kumar, S. Moulick and B. C. Mal, “Selection of aerators for intensive aquacultural pond,” *Aquacultural engineering*, vol. 56, pp. 71-78, Sep. 2013.
- [3] L. T. Phan, T. M. Bui, T.T.T. Nquyen, G. J. Gooley and B. A. Ingram, “Current status of farming practices of striped catfish, *Pangasianodon hypophthalmus* in the Mekong Delta, Vietnam,” *Aquaculture*, vol. 296, no. 3-4, pp. 227-236, Nov. 2009.
- [4] J. Southard, (2006). Dissolved Oxygen and Water Column Stratification. [Online]. Available: <http://www.fondriest.com>
- [5] A. Ali, “Oxygen regime and productivity in fish ponds,” M.S. thesis, Dept. Tech. (Aquaculture), African Regional Aquaculture Centre/Rivers State University of Science and Technology, Port Harcourt, 1986.

- [6] F. Struckmann, "Analysis of a flat-plate solar collector," Heat and Mass Transport, Project Report, 2008MVK160. (2008).
- [7] A. Mahmoud, T. N. Quang and E Pavlov, "Development of a solar updraft aeration system for pond aquaculture in resource-constrained environments," in *Proceeding of 2015 IEEE Global Humanitarian Technology Conference (GHTC)*, Seattle, WA, USA, IEEE, 2015, pp. 306-313.
- [8] T. Chenvidyakarn and A. Woods, "Multiple steady states in stack ventilation," *Building and Environment*, vol. 40, pp. 399-410, 2005.

